

زیست چینه نگاری و اجزاء اسکلتی کربناته سازندهای آسماری و رازک در جنوب شرقی یاسوج (برش تنگ سرخ)

سیده زهرا ابطحی^{۱*}، علی صیرفیان^۲

۱- دانشجوی کارشناسی ارشد، گروه زمین شناسی، دانشکده علوم، دانشگاه اصفهان

۲- دانشیار گروه زمین شناسی، دانشکده علوم، دانشگاه اصفهان

پذیرش مقاله: ۱۳۹۰/۷/۲۲

تأیید نهایی مقاله: ۱۴/۶/۱۳۹۱

چکیده

تجزیه و تحلیل وزن داران کف زی سازندهای آسماری و رازک، منجر به تشخیص ۱۸ جنس و ۲۴ گونه شد که بر اساس آن ۲ بیوزون (*Archaias asmaricus*- *Nummulites vascus*-*Nummulites fichteli*) برای سازند آسماری و ۱ بیوزون (*Archaias kirkukensis*-*Miogypsinoides complanatus* *Borelis*) برای سازند رازک شناسایی گردید. بر طبق این بیوزون‌ها سن سازند آسماری روپلین تا چاتین و سن سازند رازک بوردیگالین می‌باشد.

اجتماع دانه‌های کربناته سازند های آسماری و رازک در برش مورد مطالعه با توجه به حضور فراوان فرامینیفرهای کف زی بزرگ به همراه دوکفه ای، برویزوئر، اکینودرم، مرجان به صورت لخته ای، گاستروپد و به مقدار کم تری جلبک قرمز و جلبک سبز در رخساره های فورامول و فورآلگال-فورامول قابل طبقه بندی می‌باشند. حضور خرده های جلبک سبز، مرجان، برویزوئر و دوکفه ای نشان دهنده ای گذر از اجتماع هتروزوزئن به سمت فتوزوئن می‌باشد که به اجتماع هتروزوزئن مثبت موسوم است.

واژه‌های کلیدی: اجتماع هتروزوزئن مثبت، روپلین تا چاتین، وزن داران بزرگ کف زی، زیست چینه نگاری، سازندهای آسماری و رازک.

با توجه به این که مطالعات مرتبط با سازند آسماری در منطقه یاسوج محدود به پژوهش هایی است که شمال غرب و جنوب یاسوج را پوشش می دهد (ریخته گرزاده، ۱۳۸۷؛ Hakimzadeh and Seyrafian, 2008) شناسایی و بررسی دقیق تر آن بر اساس محتوای فسیلی در جنوب شرق یاسوج به تکمیل اطلاعات مربوط به این سازند در شمال مرکزی حوضه زاگرس کمک می نماید.

اساس زیست چینه نگاری سازند آسماری بر پایه وزن داران کف زی بزرگ مطرح شده است (Wynd, 1965). واپند (Thomas, 1950) برای اولین بار خواص زیست چینه ای سازند آسماری را تدوین کرد. پس از آن آدامز و بورژ آ (Adams and Bourgeois, 1967) در گزارشات منتشر نشده ای ۳ زون تجمعی و ۲ زیر زون تجمعی برای این سازند تشخیص داند. با این وجود، آن ها قادر به تفکیک اشکوب های الیگوسن نبوده اند (جدول ۱).

جدول ۱- زون های زیستی ارائه شده توسط آدامز و بورژ آ (Adams and Bourgeois, 1967).

زن	زون های زیستی
بوردیگالین	<i>Borelis melo group-Meandropsina iranica</i>
اکی تانین	<i>Miogypsinoides-Archaicas-Valvulinid sp.1</i>
الیگوسن	<i>Eulepidina-Nephrolepidina-Nummulites</i>

طی بررسی های انجام شده بر روی سازند آسماری از طریق ایزوتوب استرونسیم، پنج حادثه زیست چینه نگاری که در تعیین سن و تطابق حائز اهمیت هستند تشخیص داده شد (Ehrenberg et al., 2007) و بر اساس این

اطلاعات، لارسن و همکاران (Laursen et al., 2009) زون بندهای زیستی قبلی را اصلاح کردند (جدول ۲).

اخيراً در نواحی فروافتادگی دزفول و زون اينde مطالعات جامع تری صورت گرفته است (van

Peneroplis evolutus Nummulites) اثبات اعتبار فسیل شاخص *Archaicas hensonii* spp. برای روپلین،

مقدمه

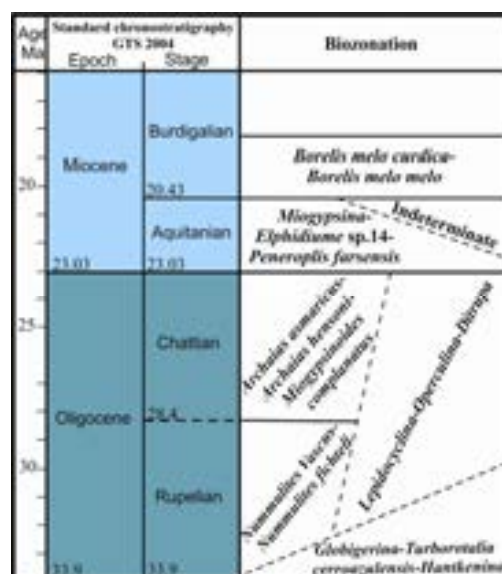
سازند آسماری توالی ضخیمی از سنگ های کربناته با سن الیگو میوسن است (آقاباتی، ۱۳۸۵). سازند آسماری و هم ارز های آن (هادرخ، جریب، غار، فرات و ...) در ناحیه خلیج فارس از جمله مخازن نفتی محسوب می شوند و بر آورد شده است که بیش از ۹۰ درصد هیدروکربن های قابل دسترسی ایران و عراق را در خود نگهداری می کنند (Ghazban, 2007).

این سازند در طی الیگوسن (روپلین) تا ابتدای میوسن (بوردیگالین) در یک پلاتفرم کربناته در طول حوضه زاگرس رسبوگذاری نموده و سن قاعده و رأس آن در نقاط مختلف متفاوت است. برای مثال، سن قاعده آن به سمت ناحیه فارس ساحلی عمده روپلین بوده و در فروافتادگی دزفول از روپلین تا چاتین متغیر است. رأس آن بطور عمده بوردیگالین است ولی در نواحی فارس داخلی و ساحلی به چاتین می رسد (درویش زاده، ۱۳۷۲؛ مطیعی، ۱۳۷۲).

فرامینیفرهای بنتیک در ارتفاعات کوه موردراز و انطباق آن با زون های زیستی ارائه شده بر اساس Mطالعات ایزوتوپ استرونیوم (Laursen et al., 2009) و -۲- تجزیه و تحلیل اجتماع کربناته در سازندهای مذکور می باشد.

برای چاتین *Miogypsinoides complanatus* و *Borelis melo curdica*. (4) تأیید زون بندی زیستی ارائه شده توسط لارسن و همکاران (Laursen et al., 2009) اهداف مطالعه حاضر شامل ۱- بررسی زیست چینه نگاری سازندهای آسماری و رازک بر اساس

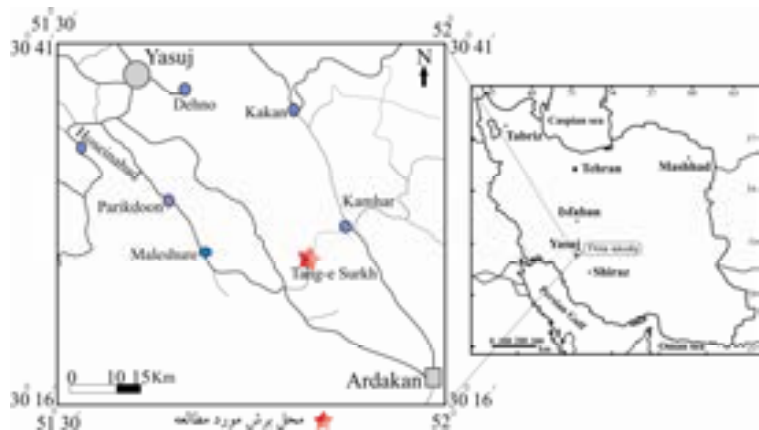
جدول ۲- جدول بیوزوناسیون سازند آسماری (Laursen et al., 2009)



توالی مورد مطالعه قرار گرفتند. سازند آسماری در این برش دارای ۲۹۴/۳۵ متر ضخامت بوده و به صورت پیوسته و هم شیب بر روی سازند پابده قرار گرفته است و از نظر سنگ شناسی شامل آهک های نازک تا متوسط لایه و ضخیم لایه تا توده ای به همراه آهک های مارنی نازک لایه می باشد. در ادامه سازند رازک به صورت هم شیب بر روی سازند آسماری قرار دارد. قاعده سازند رازک از لایه های آهکی و مارن تشکیل شده و ضخامت مطالعه شده از آن ۲۷/۷ متر می باشد. سایر قسمت های سازند رازک پوشیده است.

مواد و روش

برش مورد مطالعه در دره ای به نام تنگ سرخ در ارتفاعات کوه موردراز واقع در جنوب شرقی یاسوج با مختصات جغرافیایی $30^{\circ}27'N$, $46^{\circ}51'E$ عرض شمالی و $37^{\circ}3'N$, $44^{\circ}46'E$ طول شرقی قرار دارد (شکل ۱). مطالعات انجام شده شامل دو مرحله مطالعات صحرایی و مطالعات آزمایشگاهی است. در مرحله نخست برش فوق در صحراء مطالعه گردید و با توجه به مشخصات رخنمون و تغییرات رخساره ای، تعداد ۱۳۴ نمونه برداشت و از آن ها مقاطع نازک تهیه شد. در مرحله بعد، این مقاطع از نظر دیرینه شناختی برای تعیین سن نسبی



شکل ۱- موقعیت جغرافیایی و راه های دسترسی به منطقه مورد مطالعه: نقشه ۱:۱۰۰۰۰۰ (برگرفته از اطلس گیاتاشناسی ایران، ۱۳۸۴).

تجمع زیستی شماره ۱: این مجموعه از قاعده تا ضخامت ۱۸۱/۶ متری برش را شامل می شود (نمونه ۱ تا ۷۵) و روزن داران زیر در آن حضور دارند.

Nummulites vascus, *Nummulites fichteli*, *Nummulites intermedius*, *Operculina complanata*, *Neorotalia viennoti*, *Archaias operculiniformis*, *Amphistegina* sp., *Eulepidina dilitata*, *Eulepidina* sp., *Astrotrillina paucialveolata*, *Elphidium* sp.1, *Ditrupa* sp., *Astrotrillina striata*, miliolids.

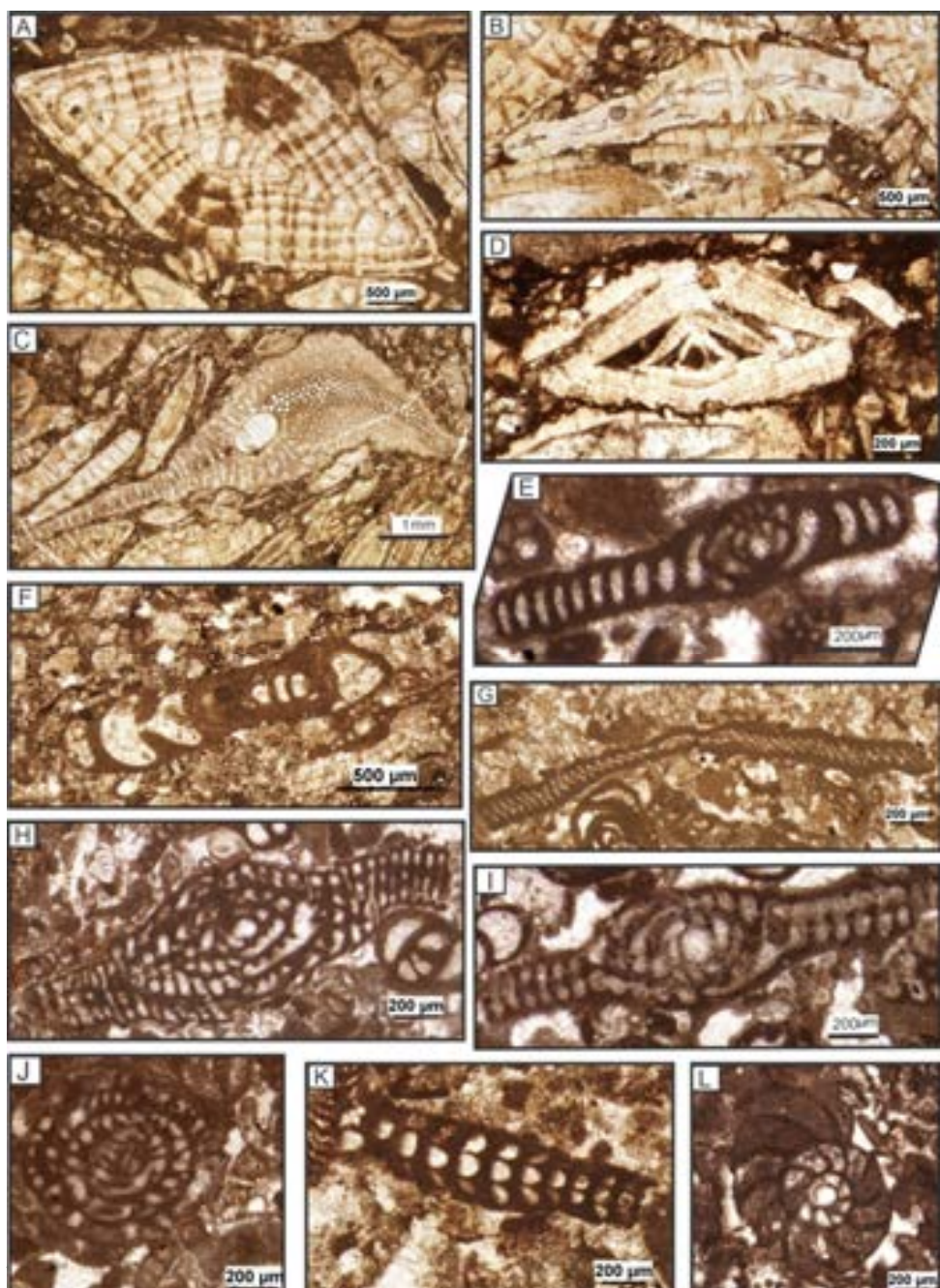
اهرنبرگ و همکاران (Ehrenberg et al., 2007) آخرین حضور نومولیت ها را مربوط به کمی قبل از انتهای روپلین دانسته اند. با توجه به فراوانی زیاد گونه های نومولیتیں، این تجمع زیستی متناظر با زون *Nummulites vascus-fichteli* Laursen et al., 2009 می باشد و سن روپلین برای آن در نظر گرفته می شود.

بحث

در این بخش ابتدا به زیست چینه نگاری برش مورد مطالعه پرداخته می شود و سپس اجتماع کربناته تشکیل دهنده سازندهای آسماری و رازک مورد بررسی قرار می گیرد.

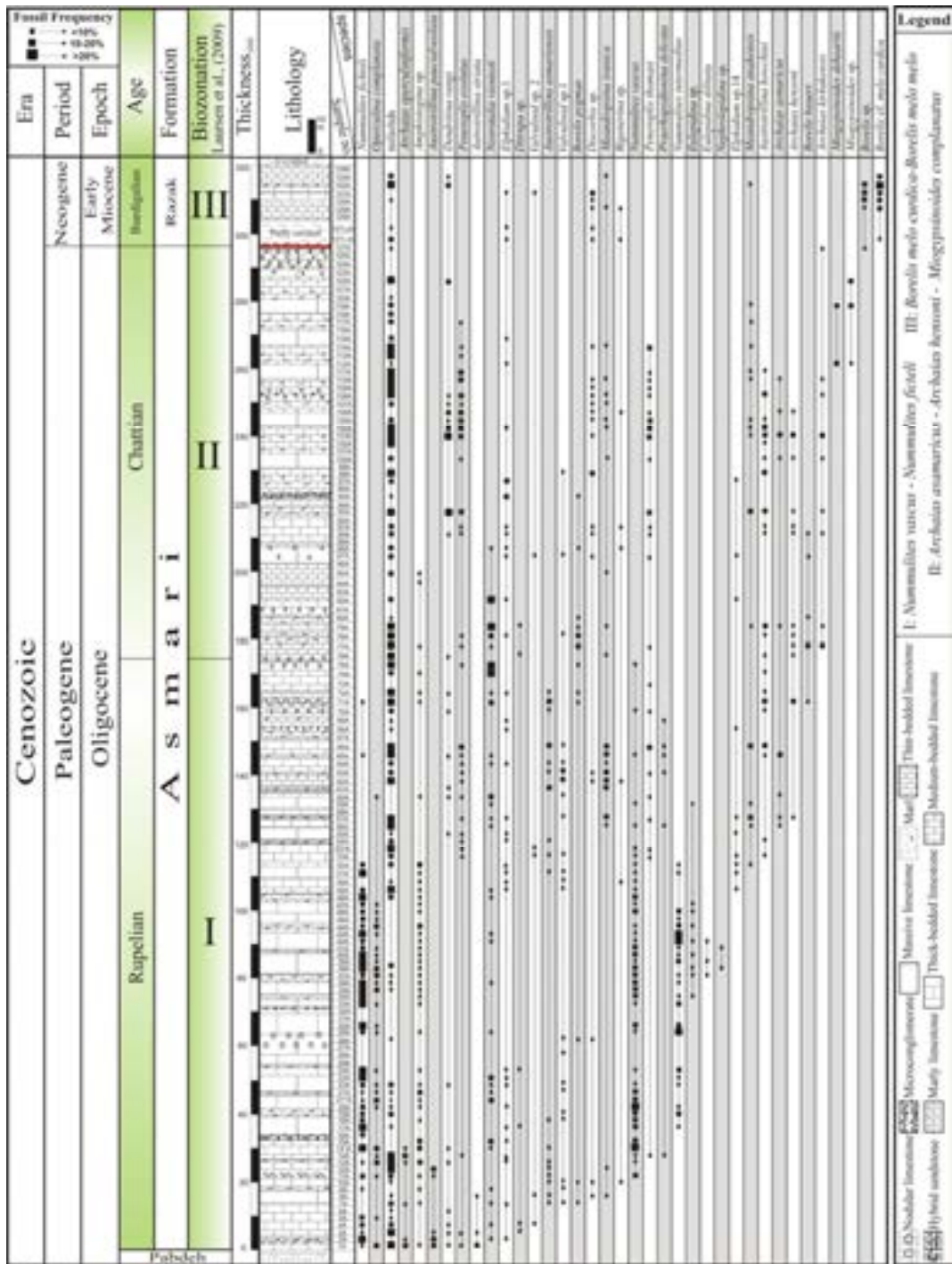
زیست چینه نگاری

به منظور تعیین سن نسبی نهشته های سازنده آسماری در منطقه مورد مطالعه، ۱۳۴ نمونه به دقت مورد بررسی قرار گرفت. بر اساس این مطالعات، ۱۸ جنس و ۲۴ گونه شناسایی شد (شکل ۲). بر مبنای انتشار چینه نگاری میکروفسیل های موجود، ۳ تجمع زیستی تشخیص داده شده است (شکل ۳). نتیجه گیری این تحقیق بر مبنای زون های زیستی ارائه شده Laursen et al., 2009 صورت گرفته است.



ج: *Eupeplina delicata*, Sample no. 39; ب: *Amphistegina* sp., Sample no. 33; E: *Peneroplis thomasi*, Sample no. 103; F: *Dendritina rangi*, Sample no. 61; G: *Meandropsina iranica*, Sample no. 62; H: *Archaias kirkukensis*, Sample no. 108; I: *Archaias asmaricus*, Sample no. 103; J: *Borelis* cf. *melo curdica*, Sample no. 132; K: *Praerhapydionina delicata*, Sample no. 56; L: *Dendritina rangi*, Sample no. 132.

شکل ۲- برخی از روزن داران موجود در برش مورد مطالعه.



شکل ۳- پراکندگی فونا با توجه به بیوزون های مرتبط با سازندهای آسماری و رازک در جنوب شرق یاسوج.

با توجه به مندرجات فوق، سن سازند آسماری در این برش روپلین-چاتین و سن قاعده سازند رازک بوردیگالین می باشد.

عدم حضور رسوبات متعلق به زمان آکی تانین در برش مورد مطالعه به دلیل مشاهده نشدن *Elphidium* sp. 14, *Miogypsina* sp., *Peneroplis farsensis* تجمع زیستی متعلق به زمان آکی تانین تشخیص داده نشده و پس از آخرین حضور جنس آرکیاس، اولین ظهور گونه *Borelis* cf. *melo curdica* عدم حضور زون های تجمعی مشخص کننده زمان *Miogypsina-Elphidium* sp. 14- و *Peneroplis farsensis* Assemblage Zone و *Indeterminate Zone* متعلق به آکی تانین است. مطالعه رسوبات قاعده سازند رازک سن بوردیگالین (*Borelis melo curdica-Borelis melo melo* Assemblage Zone) را نشان می دهد. مطالعات صحرایی نشان می دهد که در انتهای رسوبگذاری سازند آسماری یک لایه کنگلومرای آهکی (درون سازندی) نهشته شده و پس از این لایه، سازند رازک با قاعده مارنی قرار گرفته است. با توجه به این که مارن های قاعده سازند رازک بصورت بخشی پوشیده اند، اثری از آثار فرسایشی (سطح هوایده و ناهموار، خاک قدیمه و ...)، آثار دیاژنتیک مربوط به رخمنون رسوبات در سطح (سیمان های محیط واوز و محیط اکسیدان) و یا آثار مربوط به توقف رسوبگذاری یا کاهش در سرعت رسوبگذاری (مانند تشکیل هاردگراندها) به چشم نمی خورد. بنابراین، تنها شواهد فسیل ها گویای نبود زمانی آکی تانین است و مرز میان دو سازند آسماری و رازک بصورت ناپیوسته در نظر گرفته می شود.

تجمع زیستی شماره ۲: این مجموعه از نمونه ۷۶ تا ۱۲۷ را شامل شده و دارای ۱۲۱/۷ متر

تجمع زیستی شماره ۲: این مجموعه از نمونه ۷۶ تا ۱۲۷ را شامل شده و دارای ۱۲۱/۷ متر ضخامت می باشد. این تجمع دارای روزن داران زیر می باشد.

Archaias hensoni, *Archaias asmaricus*, *Archaias kirkukensis*, *Peneroplis evolutus*, *Peneroplis thomasi*, *Meandropsina anahensis*, *Meandropsina iranica*, *Astrotrillina howchini*, *Dendritina rangi*, *Valvulinid sp.1*, *Discorbis* sp., *Borelis pygmaea*, miliolids.

بر اساس مطالعات اهنبرگ و همکاران (Ehrenberg et al., 2007) حضور آرکیاس بدون حضور نومولیت ها بیانگر زمان چاتین است. با توجه به آخرین حضور آرکیاس ها در انتهای این تجمع، این مجموعه متضایر با زون *Archaias asmaricus-Archaias hensoni-Miogypsinoides copmlanatus* همکاران (Laursen et al., 2009) می باشد و سن چاتین را به خود اختصاص می دهد.

تجمع زیستی شماره ۳: این تجمع تنها در سازند رازک مشاهده شده است. قاعده این مجموعه مطابق با حضور اولین *melo curdica* می باشد. ۲۷/۷ متر انتهایی برش مورد مطالعه را شامل می شود و روزن داران زیر در آن حضور دارند.

Borelis sp., *Borelis* cf. *melo curdica*, *Discorbis* sp., *Dendritina rangi*, 2, *Meandropsina iranica*, *Valvulinid sp.* miliolids.

اهنبرگ و همکاران (Ehrenberg et al., 2007) حضور گونه *Borelis melo curdica* را مشخص کننده بوردیگالین دانسته اند. بنابراین این مجموعه متضایر با زون *Borelis melo*- *Borelis melo curdica* بوده و بیانگر سن بوردیگالین است.

با توجه به مندرجات فوق، سن سازند آسماری در این برش روپلین-چاتین و سن قاعده سازند رازک بوردیگالین می باشد.

عدم حضور رسوبات متعلق به زمان آکی تانین در برش مورد مطالعه به دلیل مشاهده نشدن *Elphidium* sp. 14, *Miogypsina* sp., *Peneroplis farsensis* تجمع زیستی متعلق به زمان آکی تانین تشخیص داده نشده و پس از آخرین حضور جنس آرکیاس، اولین ظهور گونه *Borelis* cf. *melo curdica* عدم حضور زون های تجمعی مشخص کننده زمان *Miogypsina-Elphidium* sp. 14- و *Peneroplis farsensis* Assemblage Zone و *Indeterminate Zone* متعلق به آکی تانین است. مطالعه رسوبات قاعده سازند رازک سن بوردیگالین (*Borelis melo curdica-Borelis melo melo* Assemblage Zone) را نشان می دهد. مطالعات صحرایی نشان می دهد که در انتهای رسوبگذاری سازند آسماری یک لایه کنگلومرای آهکی (درون سازندی) نهشته شده و پس از این لایه، سازند رازک با قاعده مارنی قرار گرفته است. با توجه به این که مارن های قاعده سازند رازک بصورت بخشی پوشیده اند، اثری از آثار فرسایشی (سطح هوایده و ناهموار، خاک قدیمه و ...)، آثار دیاژنتیک مربوط به رخمنون رسوبات در سطح (سیمان های محیط واوز و محیط اکسیدان) و یا آثار مربوط به توقف رسوبگذاری یا کاهش در سرعت رسوبگذاری (مانند تشکیل هاردگراندها) به چشم نمی خورد. بنابراین، تنها شواهد فسیل ها گویای نبود زمانی آکی تانین است و مرز میان دو سازند آسماری و رازک بصورت ناپیوسته در نظر گرفته می شود.

ضخامت می باشد. این تجمع دارای روزن داران زیر می باشد.

Archaias hensoni, *Archaias asmaricus*, *Archaias kirkukensis*, *Peneroplis evolutus*, *Peneroplis thomasi*, *Meandropsina anahensis*, *Meandropsina iranica*, *Austrotrillina howchini*, *Dendritina rangi*, *Valvulinid sp.1*, *Discorbis* sp., *Borelis pygmaea*, miliolids.

بر اساس مطالعات اهنبرگ و همکاران (Ehrenberg et al., 2007) حضور آرکیاس بدون حضور نومولیت ها بیانگر زمان چاتین است. با توجه به آخرین حضور آرکیاس ها در انتهای این تجمع، این مجموعه متناظر با زون *Archaias asmaricus-Archaias hensoni-Miogypsinoides copmlanatus* لارسن و همکاران (Laursen et al., 2009) می باشد و سن چاتین را به خود اختصاص می دهد.

تجمع زیستی شماره ۳: این تجمع تنها در سازند رازک مشاهده شده است. قاعده این مجموعه مطابق با حضور اولین *melo curdica* می باشد. ۲۷/۷ متر انتهایی برش مورد مطالعه را شامل می شود و روزن داران زیر در آن حضور دارند.

Borelis sp., *Borelis* cf. *melo curdica*, *Discorbis* sp., *Dendritina rangi*, 2, *Meandropsina iranica*, *Valvulinid sp.* miliolids.

اهنبرگ و همکاران (Ehrenberg et al., 2007) حضور گونه *Borelis melo curdica* را مشخص کننده بوردیگالین دانسته اند. بنابراین این مجموعه متناظر با زون *Borelis melo melo-Borelis melo curdica* لارسن و همکاران (Laursen et al., 2009) بوده و بیانگر سن بوردیگالین است.

اجتماعات کربناته

بر اساس انواع دانه‌های سازنده و فراوانی آن‌ها، اصطلاحات متفاوتی برای اجتماعات کربناته در نظر گرفته شده است (شکل ۴). عواملی مانند دما، مواد غذایی، انرژی آب، شفافیت آب، عمق، شوری، اکسیژن، تمرکز CO_2 ، نسبت Mg/Ca ، خواص قلیایی، شرایط بستر و روندهای تکاملی بر روی بايوتاها تولید کننده کربنات و بدنبال آن بر اجتماعات کربناته تأثیر می‌گذارند (Pomar et al., 2004; Wilson and Vecsei, 2005; Klinder and Wilson, 2010).

تمرکز و همراهی دانه‌های کربناته اسکلتی و غیر اسکلتی، اجتماعات کربناته را تشکیل می‌دهند. شلف‌های کربناته در محیط‌های گرم و یا سرد می‌توانند بوسیله شناسایی سازنده‌گان غالب اسکلتی از همدیگر تمیز داده شوند. استفاده از الگوی پراکندگی اجتماعات کربناته موجب درک بهتر شرایط آب و هوایی و تغییر عرض‌های Flugel, (2010) جغرافیایی در محیط قدیمه می‌شود.

	Tropical (+20 °C)	Midi- temperate (23-18 °C)	Temperate (16-10 °C)	Sub-polar (10-0 °C)	Polar (<0 °C)	Planktonic Coral	Chlorophyte & Eukaryotes	Algal & Prokaryotes	Sediment	Biogenic Silicate	Biogenic Carbonate	Algae, Coral Silicate	Clay	Sand	Adaptation	Principal reference
Photozoan						●	●	●	●	●	●	●	▲	▲	▲	James, 1997
Chlorozoan						●	●	●	●	●	●	●	▲	▲	▲	Lees & Butler, 1972
Chloralgal						●	●	●	●	●	●	●				Lees, 1975
LB-foralgal						●	●	●	●	●	●	●				Wilson & Vecsei, 2005
Transitional						●	●	●	●	●	●	●	▲			Hallar et al., 2006
Foramol						?	●	●	●	●	●	●	▲			Lees & Butler, 1972
Heterozoan							●	●	●	●	●	●	▲			James, 1997
Rhodalgal							●	●	●	●	●	●				Carannante et al., 1988
Bryozoa							●	●	●	●	●	●				Nelson et al., 1988
Barnamol							●	●	●	●	●	●				Hayton et al., 1995
Echinofor							●	●	●	●	●	●				Hayton et al., 1995
Bimol							●	●	●	●	●	●				Hayton et al., 1995
Molechfor							●	●	●	●	●	●				Carannante et al., 1988
Thermacor							●	●	●	●	●	●				Klinder & Wilson, 2010

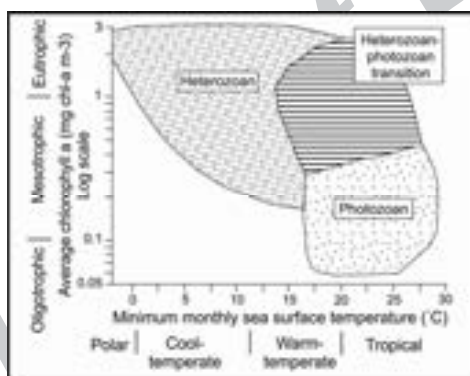
شکل ۴- اسامی اجتماعات کربناته بر اساس اجزای غالب تشکیل دهنده آن‌ها (بر گرفته از Klinder and Wilson, 2010).

این اجتماع در آب‌های نیمه حاره‌ای تا سرد در عرض‌های جغرافیایی متوسط تا بالا یافت می‌شود و در مکان‌هایی که تحت تأثیر حرکت آب های بالارونده و رواناب‌های خاکی غنی از مواد غذایی باشد، گسترش دارد (Pomar et al., 2004; Brandano et al., 2009; Mutti and Hallock, 2003). اجتماع فتوزوئن شامل همه دانه‌های اسکلتی مشتق شده از ارگانیسم‌های بنتیک وابسته به نور در آب‌های گرم (مرجان‌های اسکلرالکتینین، جلبک سبز، فرامینیفرهای بزرگ بنتیک)، و یا اجزای غیر اسکلتی (ایید، آگرگات‌ها و پلولید) به اضافه یا

بر پایه وابستگی بايوتاها سازنده کربنات به نور، دو گروه بزرگ از اجتماعات کربناته تعریف شده است. این اجتماعات در دریاهای امروزی بر طبق عرض جغرافیایی و چرخش آب دریا پراکنده شده اند (Mutti and Hallock, 2003). اجتماع هتروزوئن شامل اجزای کربناته تولید شده بوسیله ارگانیسم‌های بنتیک مستقل از نور نظیر بريوزوئرها، اکینوئیدها، دوکفه‌ای‌ها و هم‌چنین برخی از فرامینیفرها به همراه تعداد کمی موجودات وابسته به نور و قطعات جلبک‌های مرجانی است (Klinder and Wilson, 2010).

جیمز (James, 1997) معرفی شده است و میان دو اجتماع فوق الذکر قابل تفکیک است. اجتماعات فتوزوئن (شامل بیش از ۲۰ درصد اجزای فتوزوئن) در آب های الیگوتروفیک تا کمی مزوتروفیک (۱۸ تا ۲۷ درجه سانتیگراد)، اجتماعات انتقالی هتروزوئن به فتوزوئن (دارای ۱ تا ۲۰ درصد اجزای فتوزوئن) تحت شرایط مزوتروفی قوی و یوتروفی (۱۵ تا ۲۷ درجه سانتیگراد) و اجتماعات هتروزوئن (کمتر از ۱ درصد اجزای فتوزوئن) در شرایط مزوتروفی و یوتروفی (کم تر از ۲۰ درجه سانتی گراد) تشکیل می شوند (شکل ۵) (Kindler and Wilson, 2010; Wilson and Vecsei, 2005).

منهای اجزای اسکلتی اجتماع هتروزوئن می باشد (Kindler and Wilson, 2010; Flugel, 2010). این اجتماع در آب های حاره ای تا نیمه حاره ای یافت می شود (Mutti and Hallock, 2003). باید توجه داشت که برخی از بايوکلاست ها (فرامینیفرهای بنتیک کوچک، نرم تنان، برآکیوپدها و جلبک های مرجانی) در هر دو اجتماع فتوزوئن و هتروزوئن یافت می شوند (Kindler and Wilson, 2010). اجتماع انتقالی هتروزوئن به فتوزوئن که دارای ۱ تا ۲۰ درصد از اجزای اجتماع فتوزوئن است تحت عنوان هتروزوئن مشیت (Heterozoan+) توسط



شکل ۵- نحوه پراکندگی اجتماعات کربناته بر اساس درجه حرارت و مواد غذایی (برگرفته از Westphal et al., 2010)

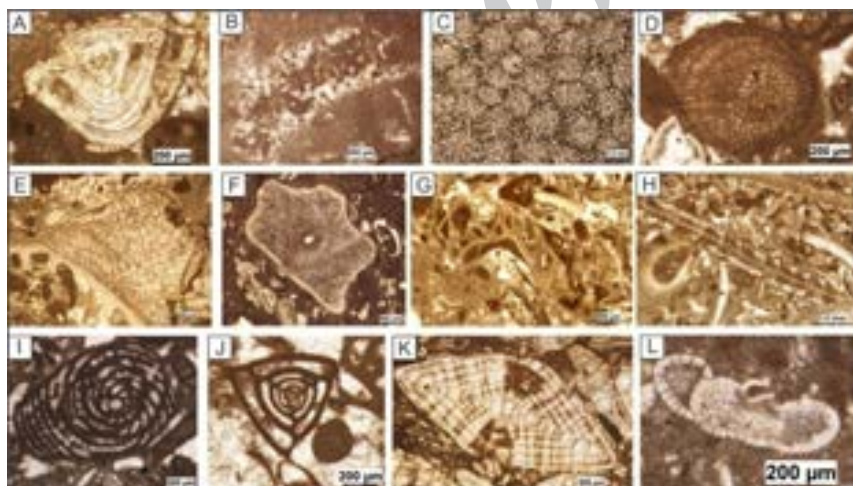
که همراه با مجموعه فوق دوکفه ای، بریوزوئر، اکینوئر، مرجان بصورت تکه ای، گاستروپد و به مقدار کم تری جلبک قرمز و جلبک سیز همراه شده اند. از اجزای غیر اسکلتی می توان به حضور پلوبید در برخی مقاطع اشاره کرد. اجتماع دانه ای کربناته سازنده رازک با فراوانی زیاد فرامینیفرهای بنتیک بدون منفذ کوچک (میلیولید، ولولینید، شلمبرژرینا) همراه با فرامینیفرهای بنتیک بزرگ بدون منفذ (بورلیس و دندریتینا) و منفذداران کوچک (دیسکوربیس و الفیدیوم) مشخص می

تجزیه و تحلیل اجتماع کربناته موجود در برش مورد مطالعه

اجتمع دانه های کربناته سازنده آسماری در برش مورد مطالعه به طور عمده شامل فرامینیفرهای بنتیک بزرگ منفذ دار و بدون منفذ دارای همزیست (نومولیت ها، آمفستینا، اپرکولینا، آرکیاس، پنروپلیس، دندریتینا و بورلیس)، فرامینیفرهای منفذ دار کوچک (روتالیا، دیسکوربیس، الفیدیوم) و فرامینیفرهای بدون منفذ (میلیولید، ولولینید، تکستولارید) می باشد

دو رخساره فورامول و فورآلگال-فورامول، جزو اجتماع هتروزوفن طبقه بندی می‌شوند (Wilson and Vecsei, 2005; Flugel, 2009) ولی موقعیت عرض جغرافیایی پایین، حضور قطعات مرجان (بصورت پراکنده و تکه ای)، مقدار کم جلبک‌های سبز (داسی کلاداسه آ و هالیمدا) و موجودات هتروتروف (بالانوس، بریوزوئر، اکینودرم، دوکفه ای) را نمی‌توان نادیده گرفت. بنابراین برای اجتماع دانه‌ای سازند آسماری در جنوب مرکزی زاگرس مرتفع، اجتماع انتقالی هتروزوفن به فتوزوفن (دارای ۱ تا ۲۰ درصد اجزای فتوزوفن) یا هتروزوفن مثبت در نظر گرفته می‌شود (شکل ۶).

شود. همراه با این اجزاء، قطعات اکینودرم، دوکفه ای و به میزان کم تر جلبک سبز حضور دارند. پلوئید نیز از اجزای غیر اسکلتی آن محسوب می‌شود. دانه‌های کربناته یاد شده در هر دو سازند، رخساره فورامول را نشان می‌دهند. با توجه به مقدار کم جلبک قرمز همراه شده با فرامینیفرهای بزرگ نمی‌توان این مجموعه را به رخساره فورآلگال که جلبک قرمز از سازندگان اصلی آن است نسبت داد. بنابر این مجموعه اجزای ذکر شده در کل برش مورد مطالعه معرف اجتماع فورامول هستند. با اینحال می‌توان بخش هایی از سازند آسماری (اواسط رویلین) که در آن، فراوانی زیاد نومولیت‌ها به همراه دوکفه ای و اکینودرم مشهود است را به عنوان رخساره حدواسط فورآلگال-فورامول در نظر گرفت.



A: *Amphistegina* sp., Sample no. 13; B: *Halimeda* sp., Sample no. 120; C: Coral, Sample no. 25; D: Red algae, Sample no. 57; E: Bivalve, Sample no. 5; F: Echiniderm fragment, Sample no. 131; G: *Balanus* shell, Sample no. 5; H: Bryozoan, Sample no. 5; I: *Archaias kirkukensis*, Sample no. 103; J: *Triloculina tricarinata*, Sample no. 56; K: *Nummulites fichteli*, Sample no. 44; L: *Discorbis* sp., Sample no. 90.

شکل ۶- دانه‌های کربناته سازنده اجتماع هتروزوفن مثبت.

مورد مطالعه در الیگوسن-ابتدای میوسن، در عرض ۲۹ درجه شمالی قرار داشته است

باز سازی موقعیت رشته کوههای زاگرس بر اساس عرض جغرافیایی، نشان می‌دهد که برش

رشد مرجان‌ها و به دنبال آن از تشکیل اجتماع فتوزوئن چارچوب ساز جلوگیری کند.

جريان‌ها، امواج و بستر: جريان‌ها و امواج در بسیاری از موارد موجب ترویج مجموعه‌های وابسته به نور کم و ساختمندانهای غیرچارچوبی می‌شوند. جريان‌ها و امواج می‌توانند موجب تعليق دوباره ذرات شده و شفافیت آب را کاهش دهند. تعليق دوباره ذرات و بسترها ناپایدار می‌توانند ایجاد کلنی بوسیله ساختمندانهای چارچوبی مانند مرجان‌ها را به تأخیر بیندازد. مرجان‌ها بر روی بسترها سخت تشکیل کلنی داده و ریف‌ها Wilson and Vecsei, 2005 را توسعه می‌دهند (از وکستون تا گرینستون) میان انرژی متغیر آب از کم تا زیاد است ولی در بیشتر موارد شرایط انرژی متوسط تا زیاد بر محیط حاکم بوده و اغلب بافت‌های پکستون و گرینستون تشکیل شده اند. در برخی اوقات (به طور شاخص در ابتداء و انتهای رسوبگذاری سازنده آسماری) نیز شرایط به سمت Shell bed طوفانی پیش رفته به طوریکه وجود (نمونه ۱۱) و کنگلومرا آهکی (نمونه ۱۲۷) آن را تأیید می‌کند. به احتمال زیاد، ناپایداری بستر و انرژی نسبتاً زیاد امواج در بخش‌های مذکور از تشکیل اجتماع فتوزوئن جلوگیری کرده است.

شوری: میزان شوری در بخش پایین برش مورد مطالعه اغلب به صورت نرمال بوده ولی از انتهای روپلین به بعد بر میزان شوری افزوده شده و شرایط اغلب کمی هیپرسالین تا هیپرسالین شده است. این عامل به شکل محلی عمل می‌کند، به صورتی که شوری زیاد موجب توقف رشد مرجان‌های ریف ساز شده و به دنبال آن از تشکیل اجتماع فتوزوئن جلوگیری می‌کند (Westphal et al., 2010 and Wilson and Vecsei, 2005). در بخش‌هایی از سازنده آسماری که با افزایش فرامینیفرهای پرسلانوز و بطور خاص

(Heydari, 2008) از این رو شرایط نیمه حاره‌ای تا حاره‌ای بر آن حاکم بوده است. امروزه در چینین شرایطی اجتماعات فتوزوئن تشکیل می‌شوند (Mutti and Hallock, 2003).

براستی چه عواملی سبب عدم تشکیل اجتماع فتوزوئن در زمان الیگوسن و میوسن پیشین در برش مورد مطالعه شده است؟ در زیر به بررسی برخی از عوامل کنترل کننده و اثر گذار بر روی نوع اجتماع کربناته پرداخته خواهد شد.

مواد غذایی: تغییر درجه حرارت و میزان بارندگی موجب افزایش میزان رواناب‌ها شده و در نتیجه میزان ورود رسوبات و مواد غذایی به اقیانوس افزایش می‌یابد. افزایش مواد غذایی باعث تحریک رشد فیتوپلانکتون‌ها شده که در نتیجه شفافیت آب کاهش می‌یابد و محدوده عمقی مرجان‌های زوکسانتیلیت و جلبک‌های سبز محدود می‌شود و گروههایی مانند جلبک‌های رشته‌ای، بارناکل‌ها و بریوزوئرها به سرعت رشد می‌کنند و جایگزین مرجان‌ها می‌شوند (Westphal et al., 2010). هم چنین، میلیولیدها و روتالیا‌های کوچک جایگزین روتالیا‌های بزرگ و سوریتیدهای Zamagni et al., 2008 همزیست دار می‌شوند (در بخش‌هایی از برش مورد مطالعه (انتهای روپلین و ابتدای چاتین)، فراوانی فرامینیفرهای منفذ دار کوچک، بایوکلاست‌های هتروتروف و میلیولید دیده می‌شود که نشان دهنده‌ی شرایط غذای متوسط تا پرغذایی می‌باشد. افزایش مواد غذایی در این منطقه می‌تواند به علت ورود ممتد و آرام مواد آواری به محیط باشد که شرایط را به سمت پرغذایی (یوتروفی) سوق داده است. این شرایط می‌توانسته مانع از تشکیل اجتماع فتوزوئن شود. اما، در بقیه بخش‌ها میزان مواد غذایی آنقدر بالا نبوده که بتواند از

زون مزوفوتیک-الیگوفوتیک یک شرایط بهینه برای مرجان‌های دارای همزیست جلبکی و توسعه ریف‌ها در طی میوسن فراهم کرده بوده است (Pomar and Hallock, 2008). در برش مطالعه، ظرفیت محدود مرجان‌های زوکسانتیلت از تفوق آن‌ها در شرایط پر نور جلوگیری کرده و آن‌ها موفق به تشکیل ساختاری مقاوم در برابر امواج در آب‌های کم عمق نشده‌اند و تنها توانسته‌اند در زون یوفوتیک تشکیل ریف‌تکه‌ای دهند (اواسط روپلین) (شکل ۷A,B). در چنین شرایطی فرامینیفرهای بنتیک منجر به تشکیل اجتماع هتروزوئن می‌شوند (Westphal et al., 2010). به نظر می‌رسد نقش این عامل در عدم تشکیل اجتماع فتوزوئن چارچوب ساز در این منطقه بارزتر بوده است.

میلیولید همراه بوده (به صورت بارز در زمان چاتین) و از نظر شوری کمی هیپرسالین تا هیپرسالین می‌باشد، می‌توانسته به عنوان عامل بازدارنده عمل کرده باشد. چنین شرایطی برای سازند رازک (بوردیگالین) نیز صادق است.

پالئاکولوژی مرجان‌های ریف ساز: از آنجایی که مرجان هرماتیپیک جزء اساسی اجتماع فتوزوئن چارچوب ساز است، یکی از فاکتورهای مهم کنترل کننده گسترش اجتماعات هتروزوئن در اوایل الیکوسن و اوایل میوسن، می‌تواند مربوط به پالئاکولوژی مرجان‌های ریف ساز باشد. امروزه این مرجان‌ها تحت شرایط نور زیاد زندگی می‌کنند. اما همین مرجان‌ها تا انتهای میوسن ریف تشکیل نمی‌داده اند (Brandano et al., 2009).



شکل ۷-۷: A: نمایی از آهک توده‌ای با حالت مارنی و حاوی مرجان (25A و 26A). B: نمایی نزدیک از مرجان موجود در لایه 25A.

در برش فیروز آباد مرز زیرین سازند آسماری با سازند پابده بصورت هم شیب و پیوسته می‌باشد. مرز بالای سازند آسماری بصورت هم شیب در زیر سازند گچساران قرار دارد. سن سازند آسماری در برش مذکور روپلین-چاتین است (کلنات، ۱۳۸۹). قاعده سازند آسماری در برش دلیل پوشیده بوده ولی با توجه به برش‌های سازند آسماری در مناطق هم جوار، بر روی سازند پابده قرار دارد. مرز بالای سازند آسماری نیز به صورت هم شیب در زیر سازند گچساران قرار دارد. سن سازند

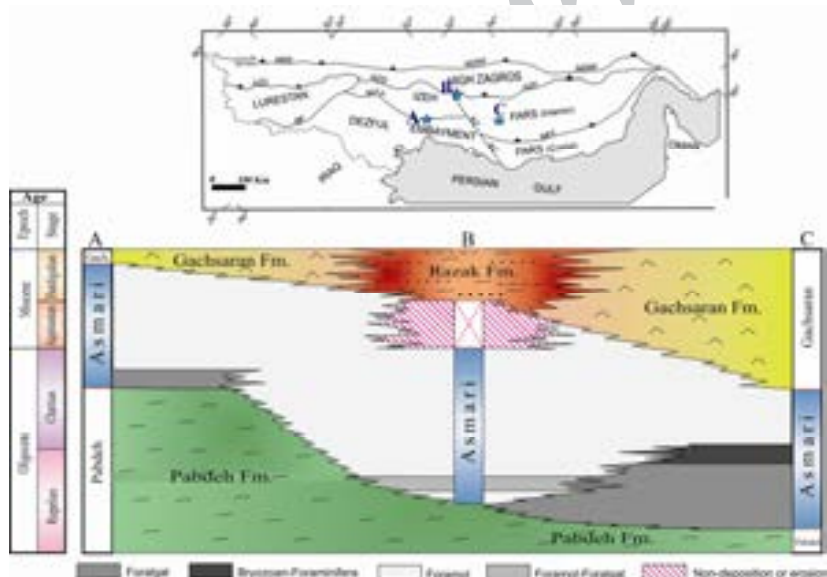
توزیع اجتماعات کربناته سازند آسماری در نواحی هم جوار برش مورد مطالعه

در این بخش، چگونگی توزیع اجتماع کربناته در برش مورد مطالعه (شمال غرب فارس داخلی) و دو برش از سازند آسماری، برش فیروز آباد در فارس داخلی (کلنات، ۱۳۸۹) و برش دلیل در شمال مرکزی فروافتادگی دزفول (Allahkarampour Dill et al., 2012) مورد مطالعه قرار می‌گیرد (شکل ۸).

است. در برش فیروزآباد در بخش هایی از پلاتفرم میانی بدلیل افزایش چشمگیر بربیوزوئرها رخساره بربیوزوئر-فرامینیفر (Flugel, 2010) جایگزین رخساره فورآلگال شده است. در این برش نیز از ابتدای چاتین تا زمان نهشته شدن سازند گچساران، اجتماع دانه ای از رخساره فورآلگال به رخساره فورامول تغییر یافته است و نشانگر کاهش عمق محیط رسوبگذاری می باشد. در برش تنگ سرخ بدلیل پیش روی آب دریا و افزایش عمق رسوبگذاری، رخساره حد واسط فورامول-فورآلگال در قسمت پروکسیمال پلاتفرم میانی تشکیل شده است. پس از آن با کاهش تدریجی عمق حوضه و بدبال پس روی آب دریا، رخساره فورامول نهشته شده است. این روند تا رسوبگذاری سازند گچساران رازک ادامه داشته است.

آسماری در برش دیل چاتین-بوردیگالین می باشد.

در ابتدای رسوبگذاری سازند آسماری در برش های دیل و فیروزآباد، رخساره فورآلگال (حضور هم زمان جلبک های قرمز و فرامینیفرهای منفذ دار بزرگ کف زی) مشاهده می شود. این رخساره در برش های مذکور مؤید زون الیگوفوتیک تا کمی مزوپوتیک از پلاتفرم میانی می باشد. این در حالیست که در قاعده برش تنگ سرخ رخساره فورامول مشاهده می شود. این رخساره مؤید زون یوفوتیک از پلاتفرم داخلی می باشد. در برش دیل، رخساره فورامول بر روی رخساره فورآلگال پیش روی کرده که حاکی از محدود شدن حوضه رسوبگذاری و کاهش عمق حوضه می باشد و این تغییر تا نهشته شدن سازند گچساران ادامه داشته



شکل ۸- توزیع اجتماعات کربناته سازند آسماری در بخشی از حوضه زاگرس. A: برش دیل، B: برش تنگ سرخ و C: برش فیروزآباد.

حالی که، رخساره فورامول در بخش های کم عمق نواحی یاد شده همراه شده است. با کاهش عمق حوضه رسوبگذاری، رخساره فورآلگال بر روی سازند پابده دارای رخساره نانوفور (پلاتفرم

بر اساس مندرجات فوق، رخساره های فورآلگال، بربیوزوئر-فرامینیفر و فورامول-فورآلگال در قسمت های عمیق حوضه در نواحی فارس داخلی و شمال مرکزی فروافتادگی دزفول نهشته شده اند. در

زیستی برای قاعده سازند رازک به سن بوردیگالین تفکیک شد. نبود رسوبات متعلق به زمان آکی تانین نشان دهنده ناپیوستگی میان سازند های آسماری و رازک است. حضور فرامینیفرهای بنتیک بزرگ منفذ دار و بدون منفذ دارای همزیست، فرامینیفرهای منفذ دار کوچک و فرامینیفرهای بدون منفذ در همراهی با دوکفه ای ها، برویزوئرها، اکینو درم ها، مرجان به صورت لخته ای، گاستروپدها و به مقدار کم تری جلبک های قرمز و جلبک های سبز سبب قرار گیری این دانه های کربناته در رخساره های فورامول و فورآلگال-فورامول شده است. علاوه بر این، قرار گیری در عرض ۲۹ درجه شمالی، شرایط آب و هوایی نیمه حاره ای تا حاره ای و حضور برخی اجزای متعلق به اجتماع فتوزوئن (مرجان همزیست دار، جلبک سبز و بارناکل)، بیانگر اجتماع هتروزوئن مثبت (ناحیه ای انتقالی از هتروزوئن به سمت فتوزوئن) می باشد.

خارجی، زون آفوتیک) قرار گرفته است و بدليل ادامه کم عمق شدگی و پرشدگی حوضه، رخساره فورامول سرتاسر حوضه را در بر گرفته است. علاوه بر این، بدليل عمق زیاد در مرکز حوضه و ادامه رسوبگذاری سازند پابده در شمال مرکزی فروافتادگی دزفول تا اواسط چاتین، از اواخر چاتین رخساره فورامول حاکم شده است در صورتی که، به سمت حاشیه حوضه این رخساره از ابتدای چاتین سیطره یافته است (شکل ۸).

نتیجه گیری

با مطالعه سازند آسماری در ارتفاعات کوه موردراز واقع در جنوب شرقی یاسوج نتایج زیر حاصل شد: ۱۸ جنس و ۲۴ گونه از روزن داران برش مورد مطالعه شناسایی شد. بر این اساس و با استفاده از Laursen et al., 2009، دو تجمع زیستی برای سازند آسماری به سن های روپلین و چاتین و یک تجمع

منابع

- کلنات، ب.، وزیری مقدم، ح.، و طاهری، ع.، ۱۳۸۹. زیست چینه نگاری و پالئوکولوژی سازند آسماری در جنوب غرب فیروزآباد، مجله رخساره های رسوبی، جلد. ۳، شماره. ۱، ص ۷۱-۸۴.
- مطیعی، م.، ۱۳۷۲. زمین شناسی ایران – چینه شناسی زاگرس، انتشارات سازمان زمین شناسی کشور، ۵۳۶ ص.
- مؤسسه جغرافیایی و کارتوگرافی گیتاشناسی، ۱۳۸۴. اطلس راههای ایران، ۱:۱۰۰۰۰۰۰، ۲۷۱ ص.
- Allahkampour Dill, M., Seyrafian, A., and Vaziri-Moghaddam, H., 2012. Palaeoecology of the Oligocene-Miocene Asmari Formation in the Dill Anticline (Zagros Basin, Iran): Neies Jahrbuch Für Geologie und
- آقانباتی، ع.، ۱۳۸۵. زمین شناسی ایران، سازمان زمین شناسی و اکتشافات معدنی کشور، ۵۸۶ ص.
- درویش زاده، ع.، ۱۳۸۰. زمین شناسی ایران، انتشارات دانشگاه امیرکبیر تهران، ۶۲۵ ص.
- ریخته گر زاده، م.، صیرفیان، ع.، صفری، ا.، و وزیری مقدم، ح.، ۱۳۸۷. چینه نگاری زیستی، ریز رخساره ها و محیط رسوبی سازند آسماری در شمال تاقدیس مختار، شمال غرب یاسوج، مجله پژوهشی دانشگاه اصفهان (علوم پایه)، جلد. ۳۴، ۷۸-۵۵ ص.
- Adams, T. D., and Bourgeois, F., 1967. Asmari biostratigraphy: Geological and Exploration, Iranian Offshore Oil Company Report, no. 1074, (unpublished).

- F.S.P., Moallemi, A. and Druillion, G., 2009. The Asmari Formation Revisited: Changed Stratigraphic Allocation and New Biozonation, First international petroleum conference & exhibition, Shiraz, Iran, v. 272, p. 17-36.
- Mutti, M., and Hallock, P., 2003. Carbonate systems along nutrient and temperature gradients: some sedimentological and geochemical constraints: International Journal of Earth Sciences, v. 92, p. 465-475.
- Pomar, L., Brandano, M., and Westphal, H., 2004. Environmental factors influencing skeletal grain sediment associations: a critical review of Miocene examples from the western Mediterranean: Sedimentology, v. 51, p. 627-651.
- Pomar, L., and Hallock, P., 2008. Carbonate factories: A conundrum in sedimentary geology: Earth-Science Reviews, v. 87, p. 134-169.
- Thomas, A. N., 1950. The Asmari limestone of southwest Iran: 18th International Geological Congress, London, pt. v.6, p. 25-34.
- van Buchem, F. S. P., Allan, T. L., Laursen, G. V., Lotfpour, M., Moallemi, A., Monibi, S., Motiei, H., Pickard, N. A. H., Tahmasbi, A. R., Vedrenne, V., and Vincent, B., 2010. Regional stratigraphic architecture and reservoir types of the Oligo-Miocene deposits in the Dezful Embayment (Asmari and Pabdeh Formations) SW Iran: Geological Society, v. 329, p. 219-263.
- Westphal, H., Halfar, J., and Freiwald, A., 2010. Heterzoan carbonates in subtropical to tropical settings in the present and past: International journal of Earth Science, v. 95, p. 1-17.
- Wilson, M. E. J., and Vecsei, A., 2005. The apparent paradox of abundant forams facies in low latitudes: their environmental significance and effect Paläontologie, Abhandlungen, v. 34, p. 167-184.
- Brandano, M., Frezza, V., Tomassetti, L., and Cuffaro, M., 2009. Heterozoan carbonates in oligotrophic tropical waters: The Attard member of the lower coralline limestone formation (Upper Oligocene, Malta): Palaeogeography, Palaeoclimatology, Palaeoecology, v. 274, p. 54-63.
- Ehrenberg, S. N., Pickard, N. A. H., Laursen, G. V., Monibi, S., Mossadegh, Z. K., Svånå, T. A., Aqrabi, A. A. M., McArthur, J. M., and Thirlwall, M. F., 2007. Strontium isotope stratigraphy of the Asmari Formation (Oligocene-Lower Miocene), SW Iran: Journal of Petroleum Geology, v. 30, p. 107-128.
- Flügel, E., 2010. Microfacies of Carbonate Rocks, Analysis, Interpretation and Application: Springer-Verlag, Berlin, 984 p.
- Ghazban, F., 2007. Petroleum geology of the Persian Gulf: Tehran, Tehran University, 707 p.
- Hakimzadeh, S., and Seyrafian, A., 2008. Late Oligocene Early Miocene benthic foraminifera and biostratigraphy of the Asmari Formation, south Yasuj, north central Zagros, Iran: Carbonates and Evaporites, v. 23(1), p. 1-10.
- Heydari, E., 2008. Tectonics versus eustatic control on supersequences of the Zagros Mountains of Iran: Tectonophysics, v. 451, p. 56-70.
- James, N. P., 1997. The cool-water carbonate depositional realm. Cool-Water Carbonates, SEPM (Society for Sedimentary Geology), v. 56, p. 1-20.
- Kindler, P., and Wilson, M. E. J., 2010. Carbonate Grain Associations: their Use and Environmental Significance, a Brief Review, Carbonate Systems during the Oligocene-Miocene Climatic Transition, Wiley-Blackwell, p. 35-47.
- Laursen, G.V., Monibi, S., Allan, T.L., Pickard, N.A.H., Hosseiney, A., Vincent, B., Hamon, Y., van Buchem,

- Zamagni, J., Mutti, M., and Košir, A., 2008. Evolution of shallow benthic communities during the Late Paleocene–earliest Eocene transition in the Northern Tethys (SW Slovenia): Facies, v. 54, p. 25-43.
- on platform development: Earth-Science Reviews, v. 69, p. 133-168.
- Wynd, J. G., 1965. Biofacies of the Iranian oil consortium agreement area: Iranian Offshore Oil Company Report, no. 1082, 40 plates, 80 p, (unpublished).

Archive of SID